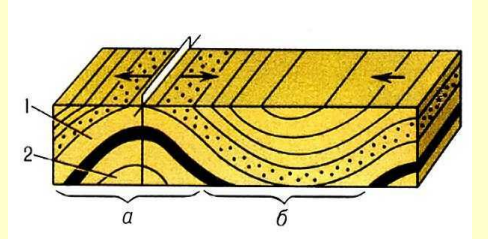
План лекции:

1. Тектонические (орогенические, эпейрогенические) движения и методы их изучения



2. Тектоностратиграфия и ее роль в секвентной стратиграфии



3. Событийная стратиграфия и ее роль в секвентной стратиграфии



Эпейрогенические, орогенические движения и методы их изучения



Типы тектонических движений:

1) Крупные горизонтальные перемещения литосферных плит

- 2) Орогенические;
- 3) Эпейрогенические;

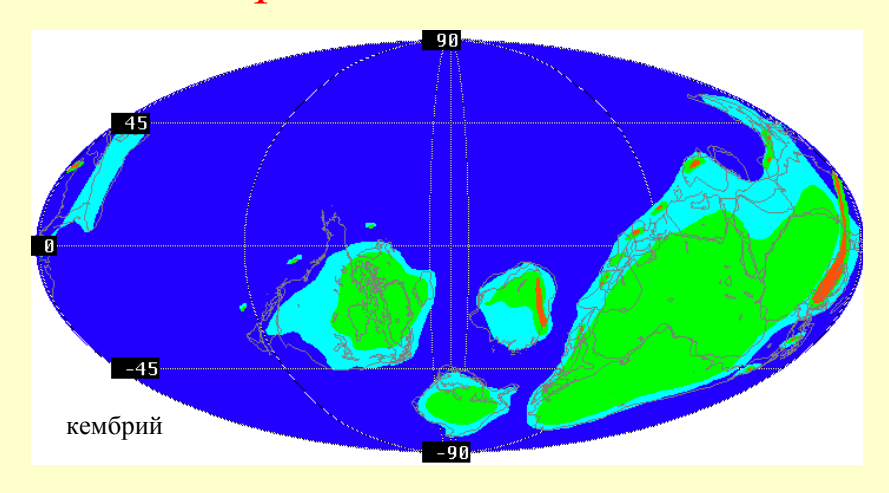
Тектонические движения — механические перемещения отдельных участков земной коры в вертикальном или горизонтальном направление, приводящие к изменению их строения. («Перемещение материала коры», по Белоусову) По Хаину и другим это касается не только земной коры, но и верхней мантии, т.е. литосферы.

Структуры земной коры находятся в движении. По типу движения могут быть разделены на 2 группы:

вертикальные



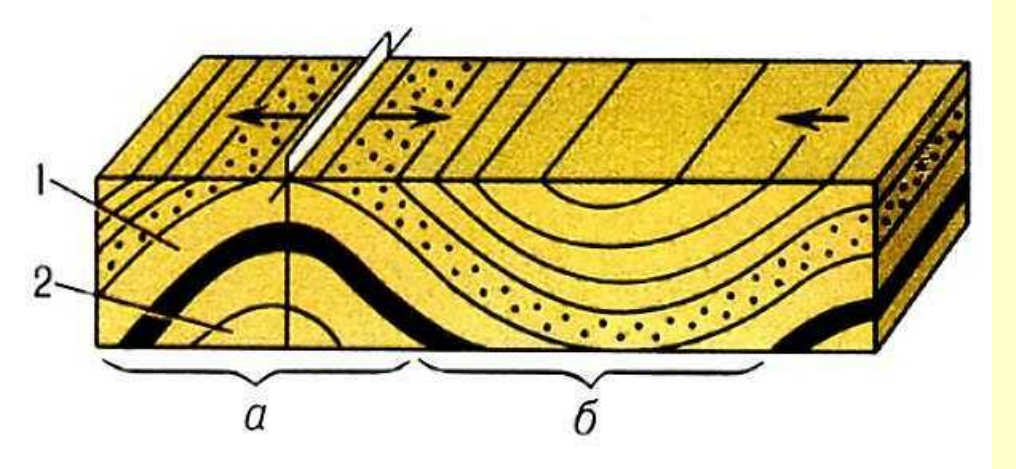
горизонтальные





Орогенические движения складкообразующие, разрывообразующие движения. Происходят в масштабе геологического времени сравнительно мгновенно (занимают миллионы лет), как

автомобильные аварии.

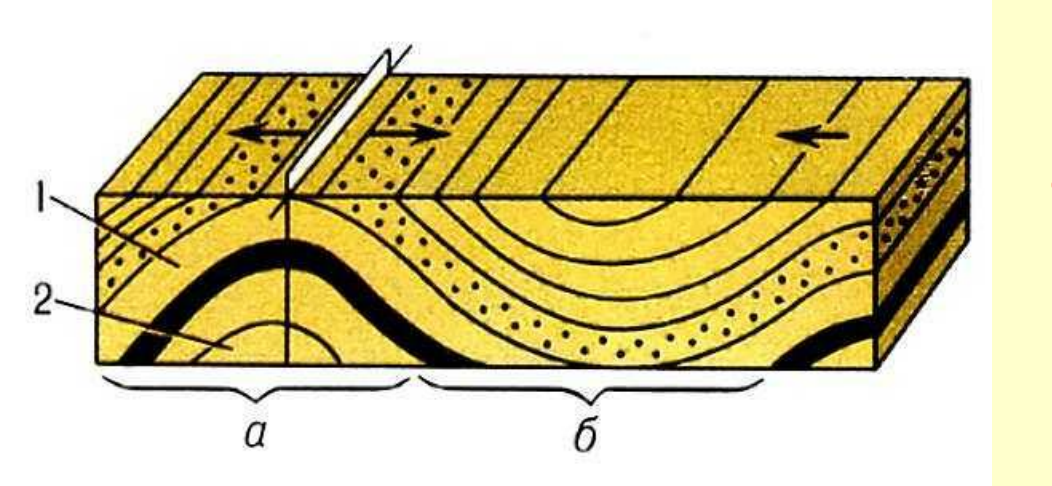


Орогенические движения



Особенности:

- 1) наличие горизонтальной и вертикальной составляющих;
 - 2) локальность, неповсеместность, эпизодичность, кратковременность;
 - 3)необратимость



Метод изучения (прямой):

структурный анализ созданных ими форм (складок, разрывов...) - *структурная* геология

Орогенические движения



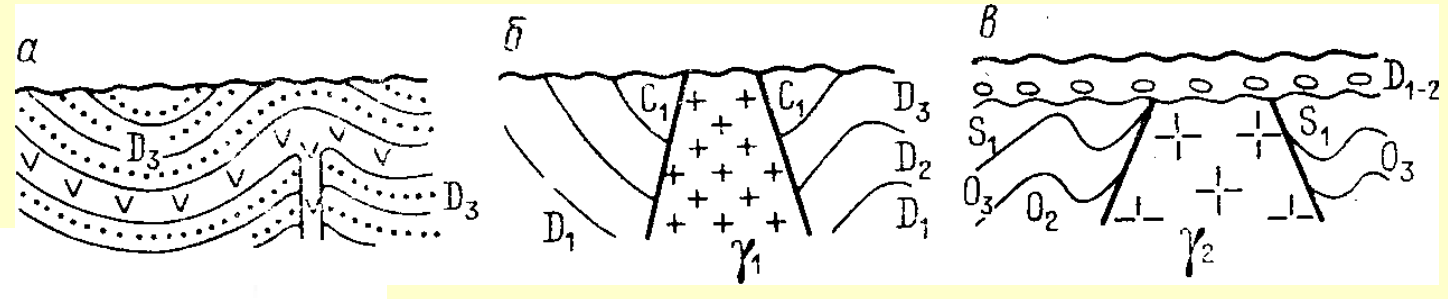
<u>Признаки:</u> наличие углового несогласия

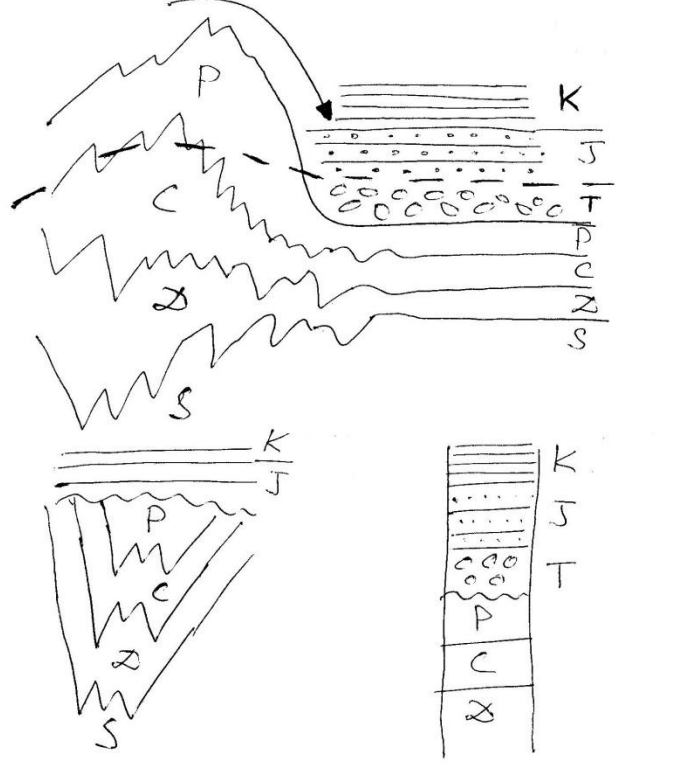
Согласно 6-му принципу
Н.Стенона складчатость
произошла после самых
молодых пород ниже
поверхности углового
несогласия и до самых
древних пород выше этой
поверхности

В данном случае: время складчатости после PR до S

Орогенические движения

<u>Методы изучения (косвенные):</u> 1) определение возраста синтектонических гранитов - абсолютная геохронология (геохимия)





2) по «конгломератам подножий»

Время проявления: граница перми и триаса

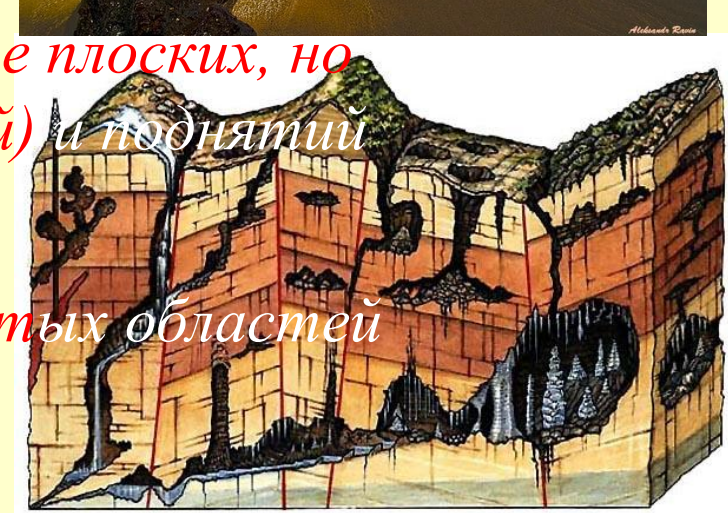
<u>Особенно ценно</u> при <u>анализе керна и</u> <u>каротажных диаграмм!</u> Эпейрогенические движения - вертикальные перемещения (поднятия или опускания) крупных участков Земной коры, вызывающие:

1) трансгрессии и регрессии;

2) пенепленизацию рельефа и образование плоских, но обширных по площади впадин (депрессий) и образование (сводов) на континентах

3) формирование высоких горно-складчатых о





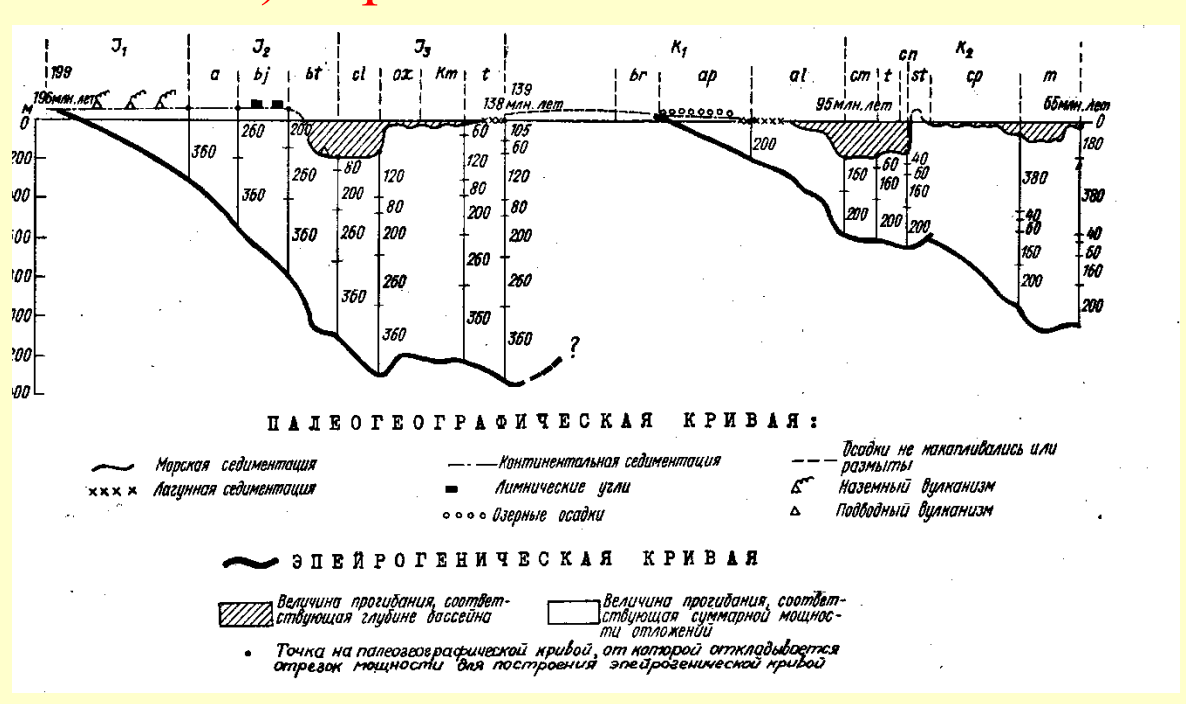
Эпейрогенические движения Особенности: 1) только вертикальная составляющая;

2) повсеместность, постоянность, медленность;

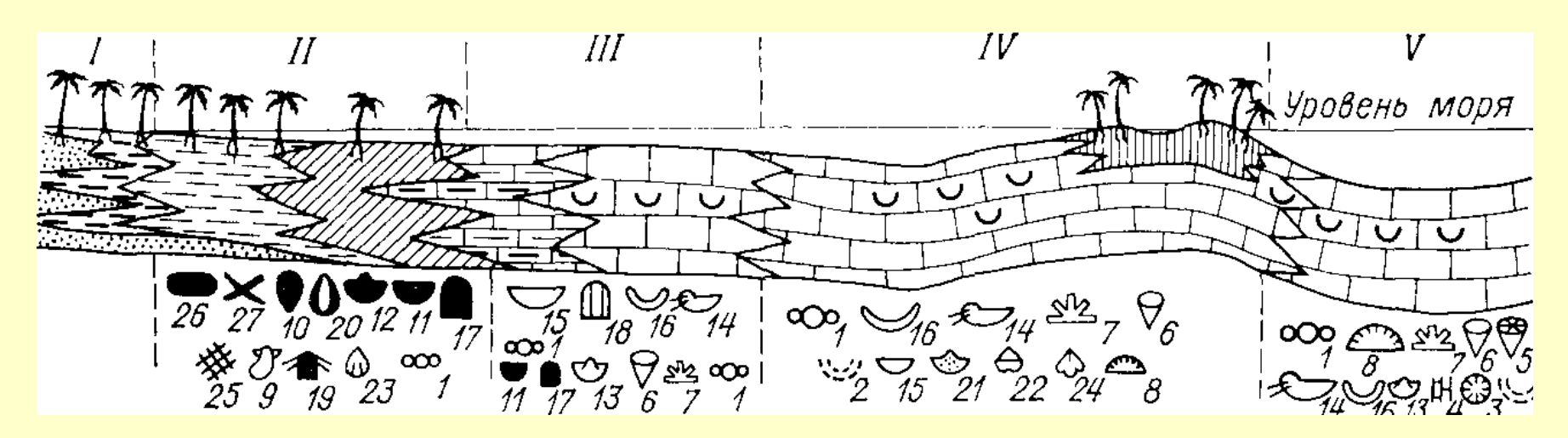
3) обратимость

«Back-stripping analysis"

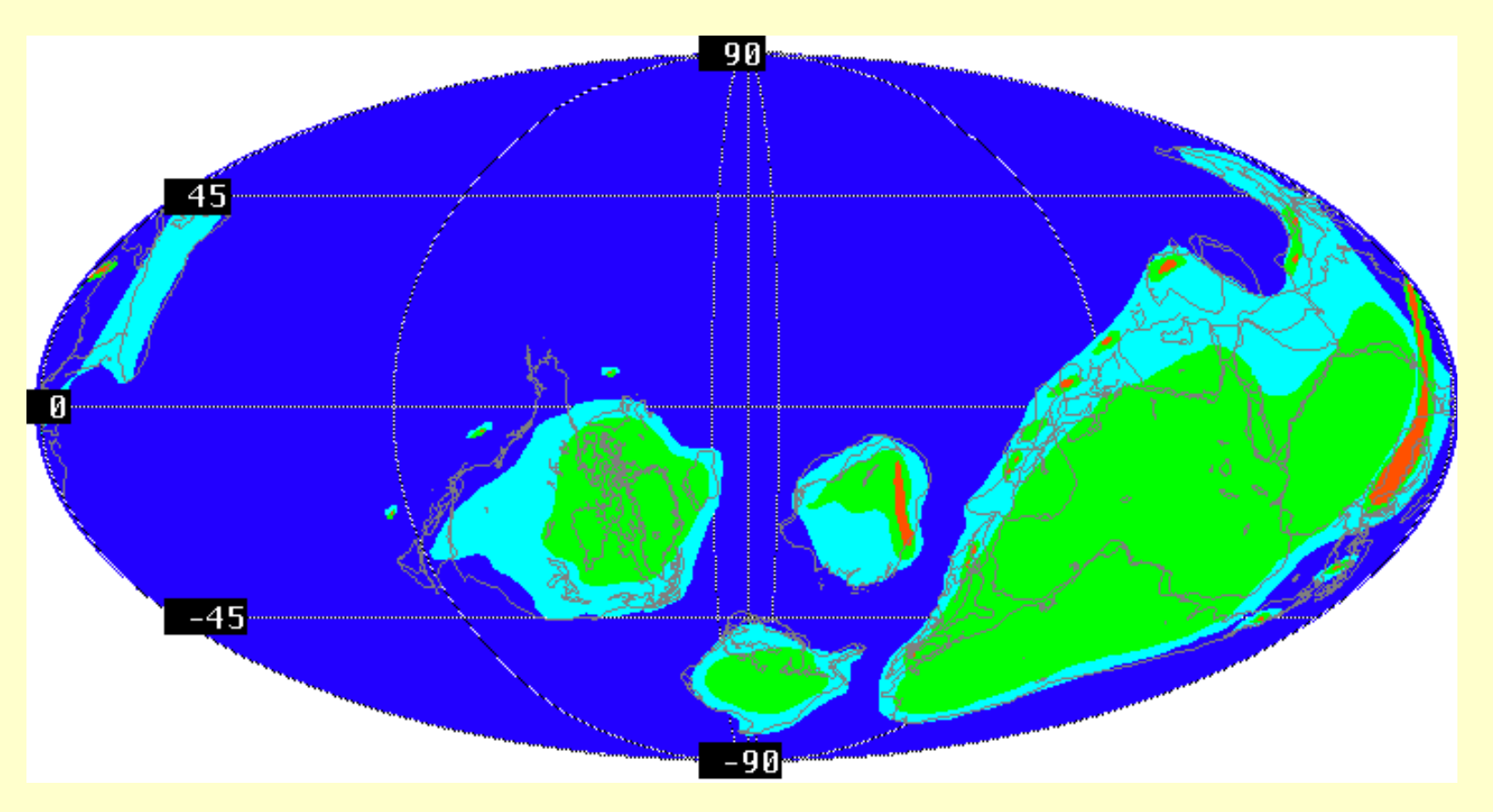
Анализ геологической истории по 1-ой стратиграфической колонке



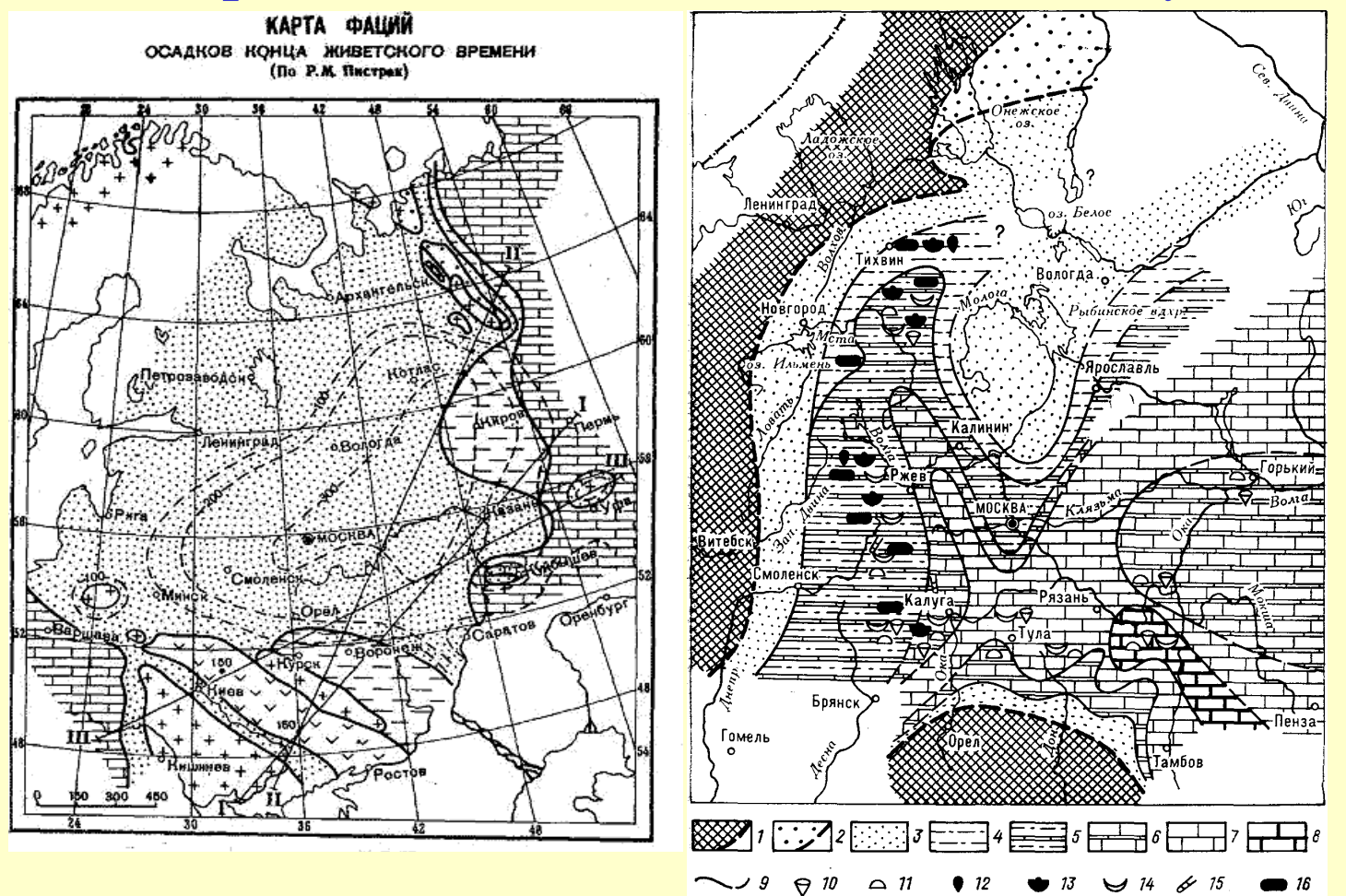
Основа метода изучения: геоморфологическое выражение в рельефе областей поднятия и опускания, т.е. анализ процессов осадконакопления и денудации



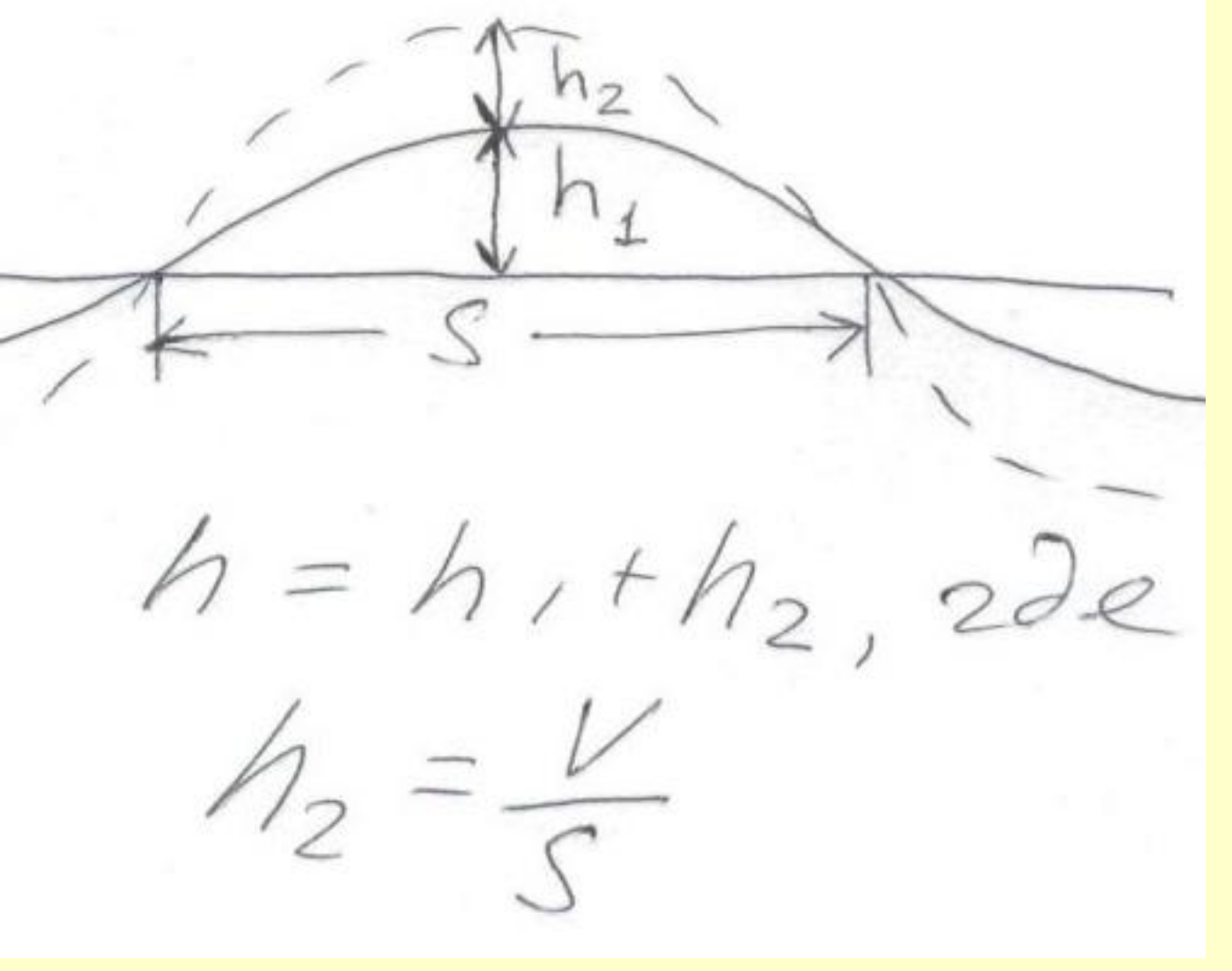
1) Распределение областей поднятия и погружения на площади выявляется изучением фациальной изменчивости отложений данного возраста



2) Палеогеографический метод Карпинского - исключительно качественно и схематично



3) Метод анализа карт фаций и мощностей - уточненная качественная и количественная характеристика для областей погружения



4) Объемный метод Ронова:

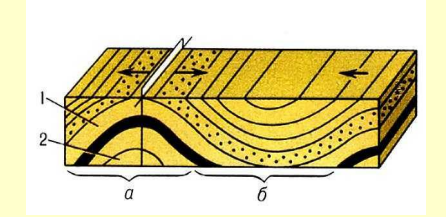
расчетная оценка величины вертикальных перемещений с использованием величины объема денудированных осадков

Тектонические движения: выводы

1. Тектонические движения реализуются в вертикальной и горизонтальной плоскостях, постоянно или эпизодически, локально или повсеместно. Они обратимы или необратимы. могут циклически повторяться.



2. Методы их изучения: прямые (анализ структурных форм), косвенные (анализ: соскладчатых интрузий, фациальной и палеогеографической обстановки, темпов осадконакопления и денудации, всей геологической истории).



3. Их анализ необходим для тектоно-, секвентной, событийной и др. стратиграфии





Анализ этих событий, некоторые из которых могут иметь катастрофическую природу и широкомасштабное распространение позволяет корректно оценить геоисторическую, палеогеографическую эволюцию бассейна, а сами отложения являются прекрасными маркирующими горизонтами, создающими «каркас» стратиграфии, преодолевающими проблему геологического времени и сопоставления морских и континентальных отложений.





выделяет и прослеживает следующие *событийные отложения*, например:

1) турбидиты, т. е. отложения мутьевых потоков

2) темпеститы, т. е. отложения штормов;

3)*инундиты* — отложения наводнений;

4) тиллиты и морены – отложения ледников;

5)*импактиты* – отложения ударных кратеров метеоритов и др.





Последствия Тунгусского взрыва: выжженный и поваленный лес тайги. Фотография начала XX века.

Последствие попадания метеорита весом 12 кг в заднюю часть легковой машины "Шевроле". Фотография 60-х годов XX века

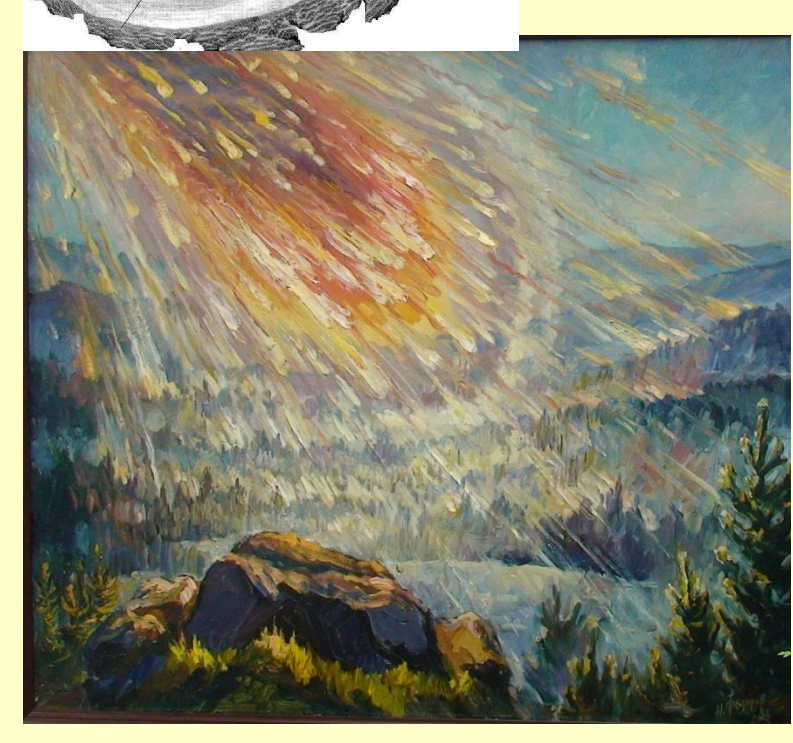
30 июня 1908 г. в 07:17 местного времени в бассейне р. Подкаменная Тунгусска на небольшой высоте в атмосфере произошел сильнейший взрыв, возможно вызванный кометой. Ударная волна вызвала огромные разрушения в Тунгусской тайге, следы которых не исчезли до сих пор. На площади 500 квадратных километров вековой лес был повален на Землю полностью. Ударная волна породила землетрясение, которое отметили сейсмографы Иркутска, Ташкента, Тбилиси, Йены.





Цикличность падения на Землю космических тел естественного происхождения





Применение событийно-стратиграфических маркеров: примеры





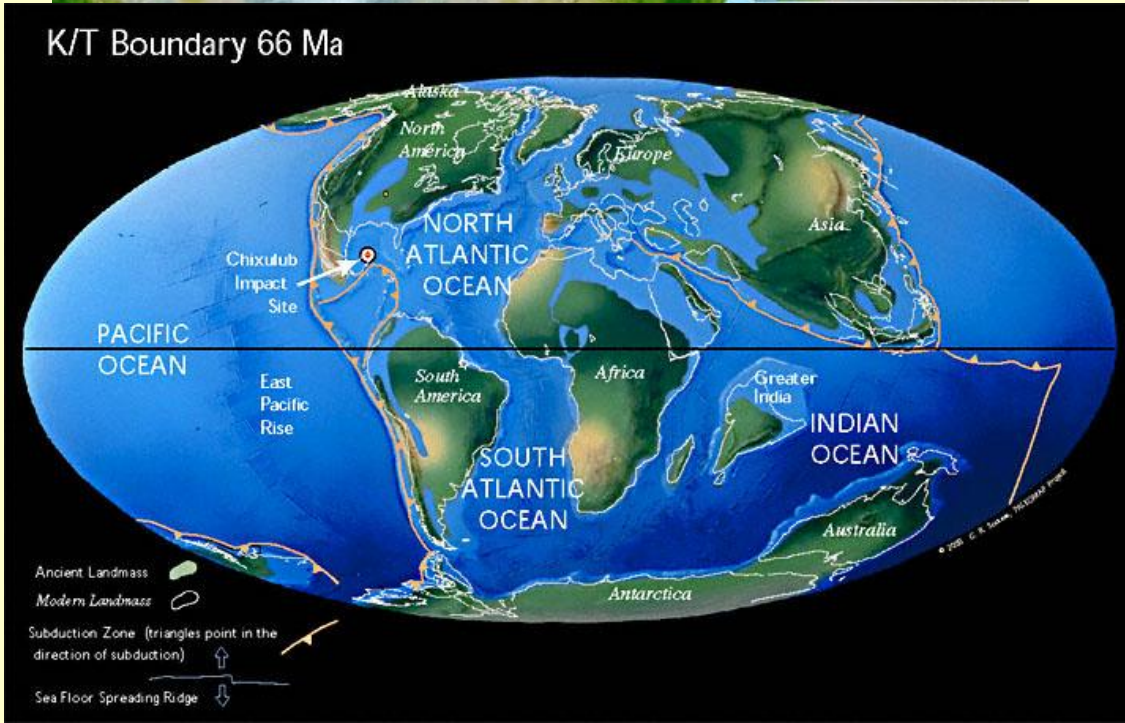


... оставляет горизонты, обогащенные веществом космического происхождения, прослеживаемые на огромные расстояния (например, иридиевая аномалия на границе меловых и палеогеновых отложений в штате Колорадо (США) - результат падения метеорита на полуострове Юкатан)

Падение астероида привело к цепочке взаимосвязанных событий

Применение событийностратиграфических маркеров: примеры Ceras Barcal

Кратер Чиксулуб расположен на пове Юкатан и является следом грандиозного метеоритного воздействия, в конце мезозойской эры. Структура имеет диаметр 180 км и около 900 м глубины. Внешний край кратера подчеркнут небольшой депрессией глубиной 3–5 м при ширине 5 км.



Применение событийностратиграфических маркеров: примеры

(Keller et al., 2009)

Верхний уровень - перене
запазопе сопрієх генть и переотложенные продукты события Чиксулуб

Shale 45-60 cm

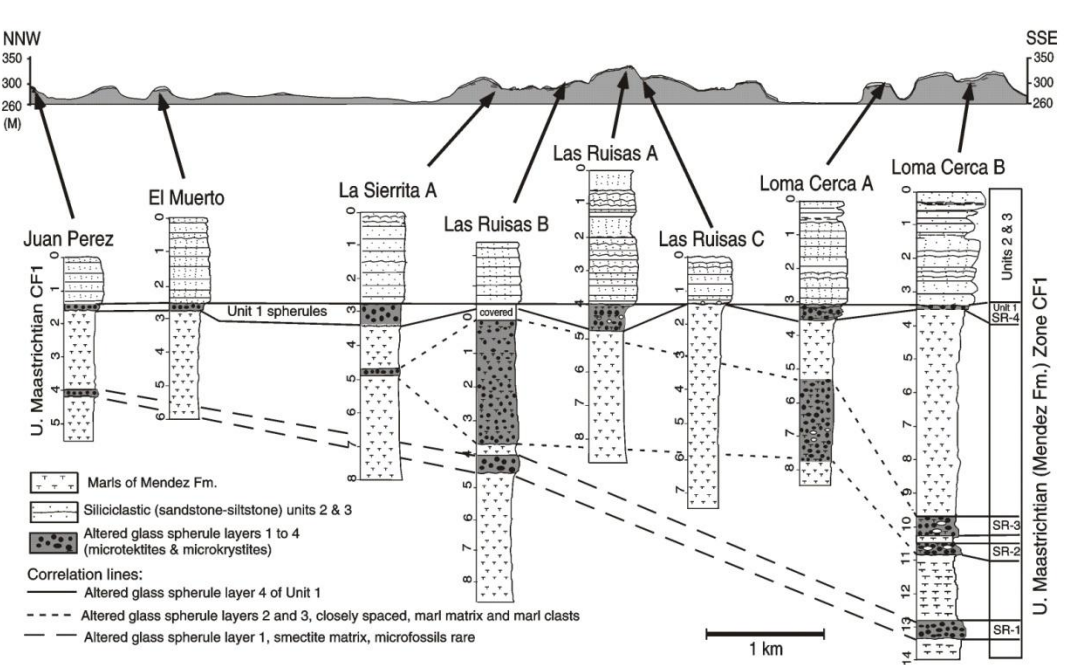
Нижний - истинный уровень импактного события Чиксулуб

события Чиксулуб

во 80 100% события Чиксулуб

во 80 100% события Чиксулуб

G. Keller et al. / Earth-Science Reviews 62 (2003) 327-363



Корреляция в пределах Мексиканского залива горизонта, обогащенного стеклянными сферулами и его более молодых «двойников», число которых может достигать пяти!

Fig. 5. Stratigraphic and lithologic correlation of Late Maastrichtian sections with several layers of altered impact spherule depositieemiciotekrystites) from Mesa Loma Cerca to Mesa Juan Perez in northeastern Me∕kīigo 1) The siliciclastic deposits of units 2 and 3 form the top of the sections and the mesas as shown by the topographic relief. All spherule deposits are within the Mendez marl Formation and within zone CF1 that spans the last 300 ky of the Maastrichtian. Lines mark correlation of sp

Применение событийно-стратиграфических маркеров: примеры (Keller et al., 2009)

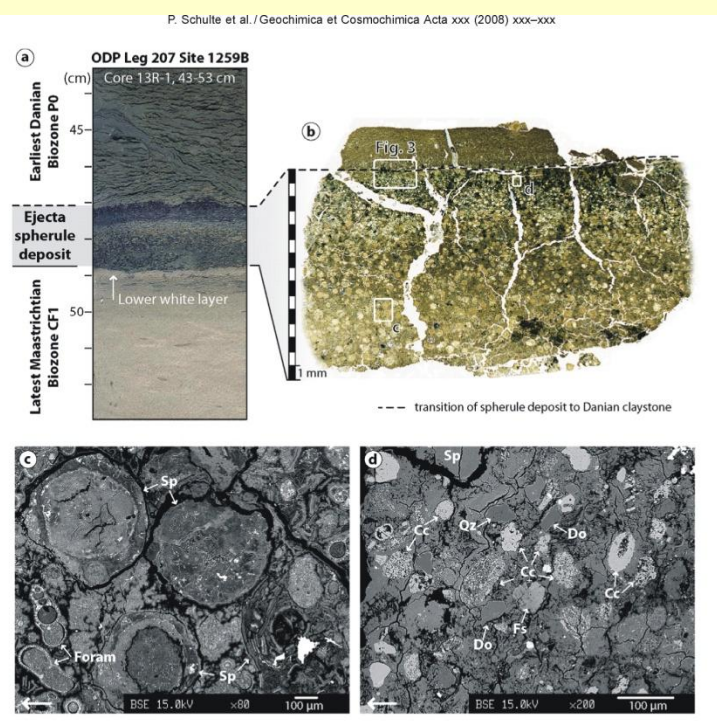


Fig. 2. The K–Pg boundary in ODP Leg 207 Site 1259B (Janus databasettp://www-odp.tamu.edu/database/). (a) A core photo showing the critical interval from the uppermost Masstrichtian to the lowermost Dainain; (b) thin section of the spherule deposit showing the normally graded sequence; (c) Back scattered electron (BSE) image of the lower part of the spherule deposit with large silicic spherule, marked by "Sp") and Cretaceous foraminifera ("Foram") filled with micrite. Note that spherules comprise compositionally distinct types of smectite that appear dark gray to light gray; (d) BSE image showing the uppermost 50th of the spherule deposit. Note abundance of carbonate clasts ("CC") and euhedral dolomite ("DO") as well as presence of small spherules ("Spounatz" ("Q") and feldspar ("Fs"). Arrow marks upcore.

Корреляция в пределах Мексиканского залива горизонта, обогащенного стеклянными сферулами

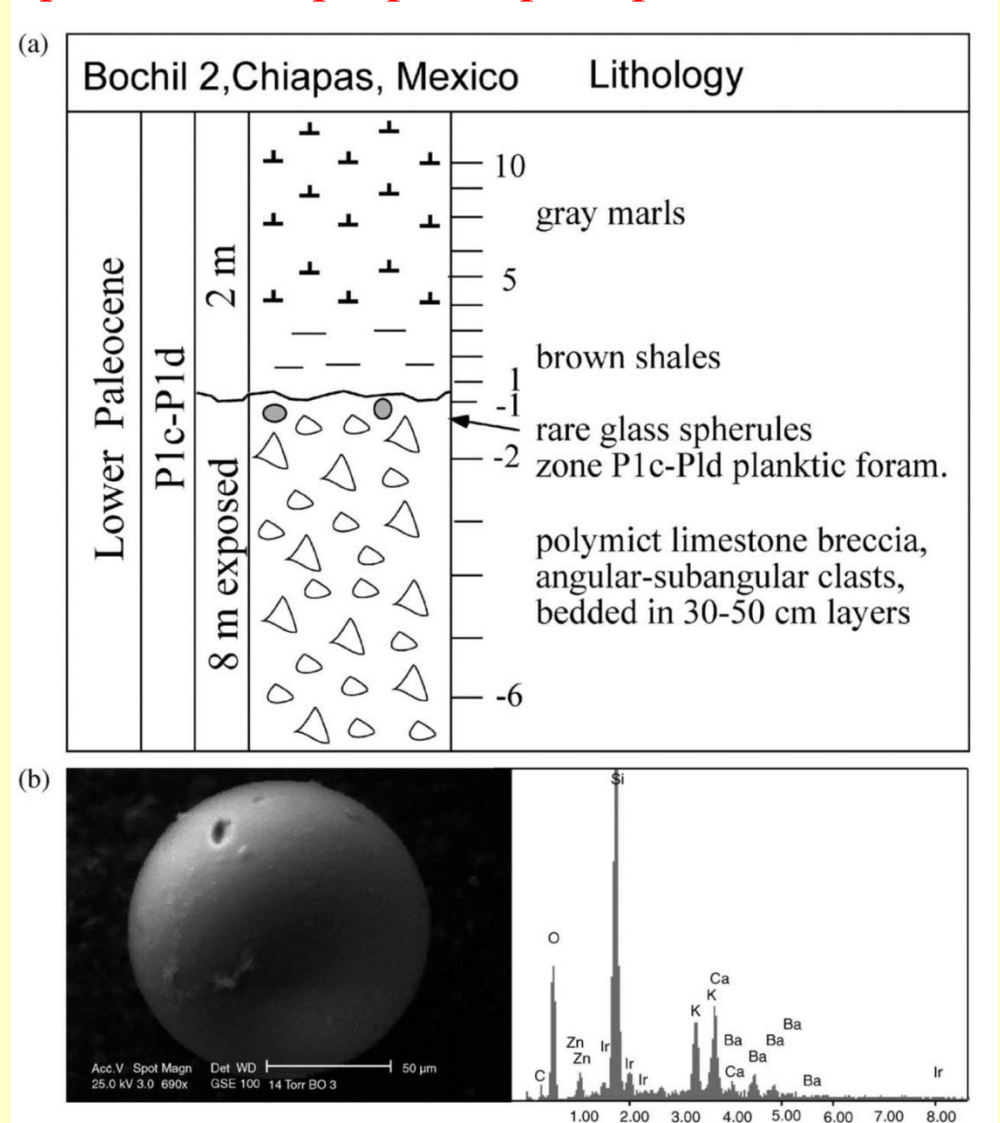
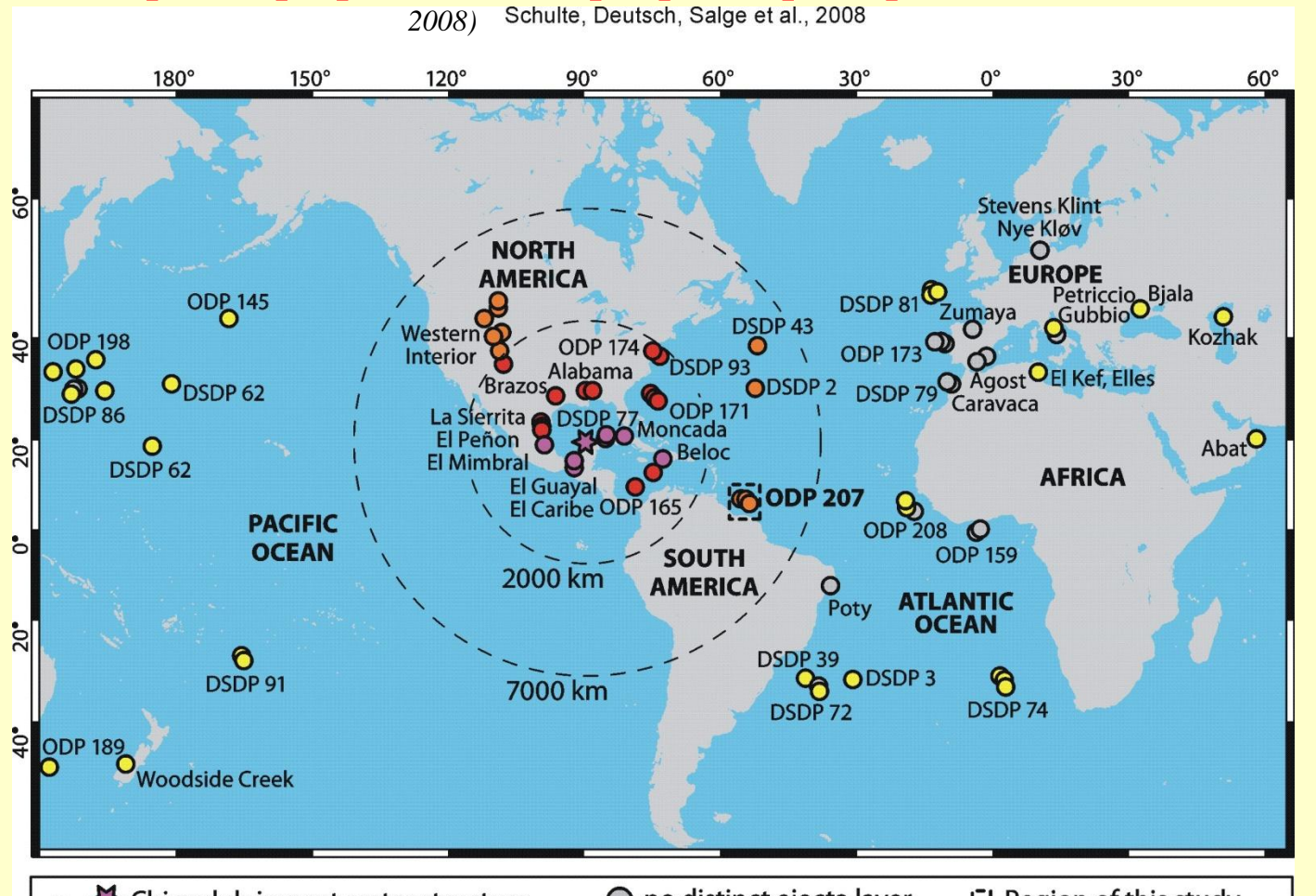


Fig. 10. (a) Litho- and biostratigraphy at Bochil 2, Chiapas, Mexico. The section is of Danian zone Plc (Right aged consists of a polymict breccia with rare glass spherules at the top. The glass is high in CaiOK and minor Ir (10b). Microfossil-rich shales overlie the breccia

Событийная стратиграфия
Применение событийно-стратиграфических маркеров: примеры (Schulte, Deutsh, Salge et al.,

Падение астероида вызвало гигантское цунами



Chicxulub impact crater structure on o distinct ejecta layer Region of this study

dm-m thick ejecta-breccia deposit (mainly clasts, spherules, shocked minerals)

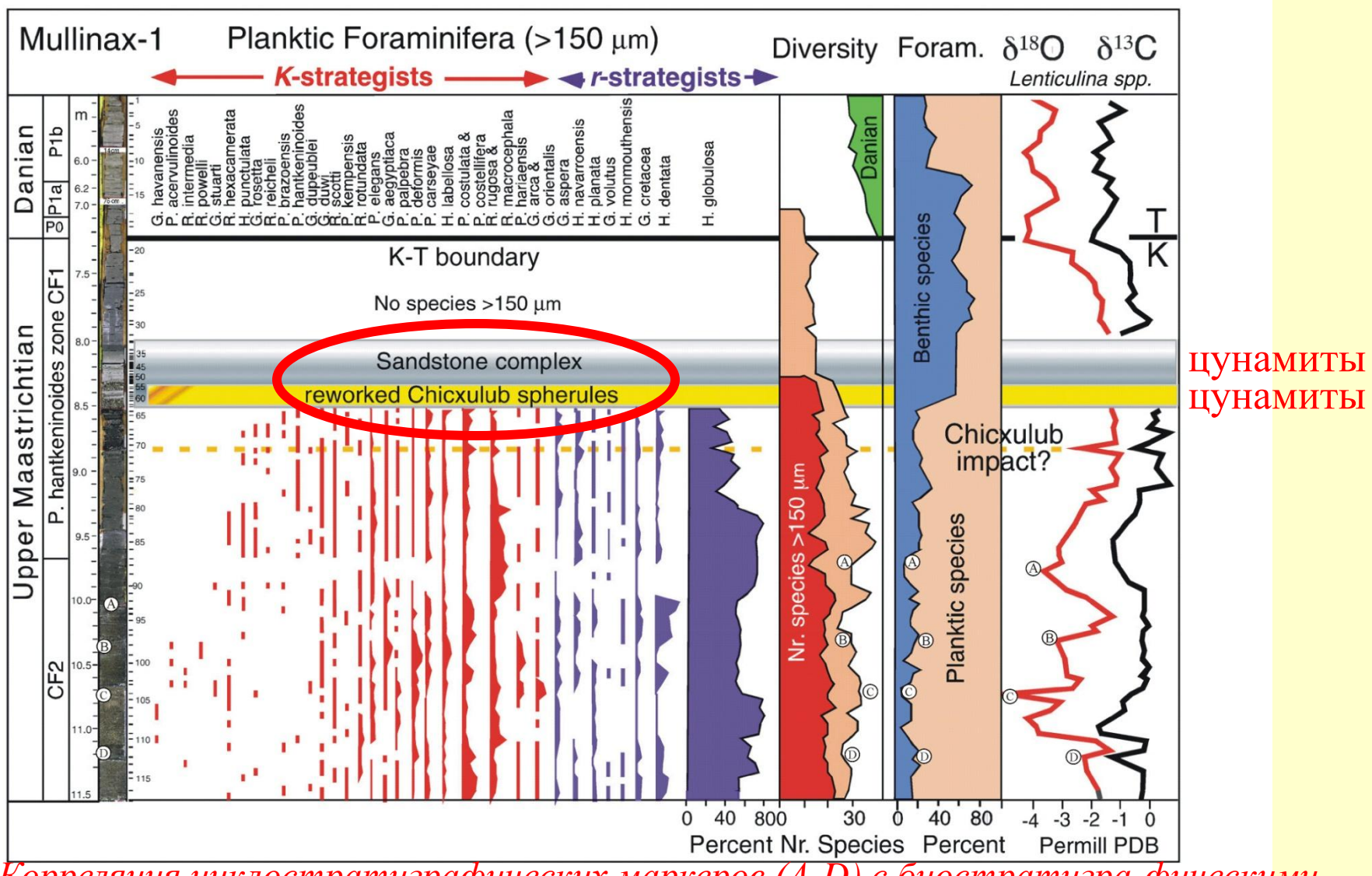
cm-dm thick ejecta layer (with spherules, shocked minerals etc.)

mm-cm thick ejecta deposit (with spherules, spinels, shocked minerals)

mm thick clay layer (with microkrystites, spherules, spinels, shocked minerals)

«Радиус поражения» астероида Чиксулуб: изменение состава маркирующего горизонта и его мощности по мере удаления от эпицентра взрыва

Применение событийно-стратиграфических маркеров: примеры (Keller et al., 2009)



Корреляция циклостратиграфических маркеров (A-D) с биостратигра-фически<mark>ми,</mark> геохимическими в скважине поблизости от кратера Чиксулуб

Применение событийно-стратиграфических маркеров: примеры (Keller et al., 2009)

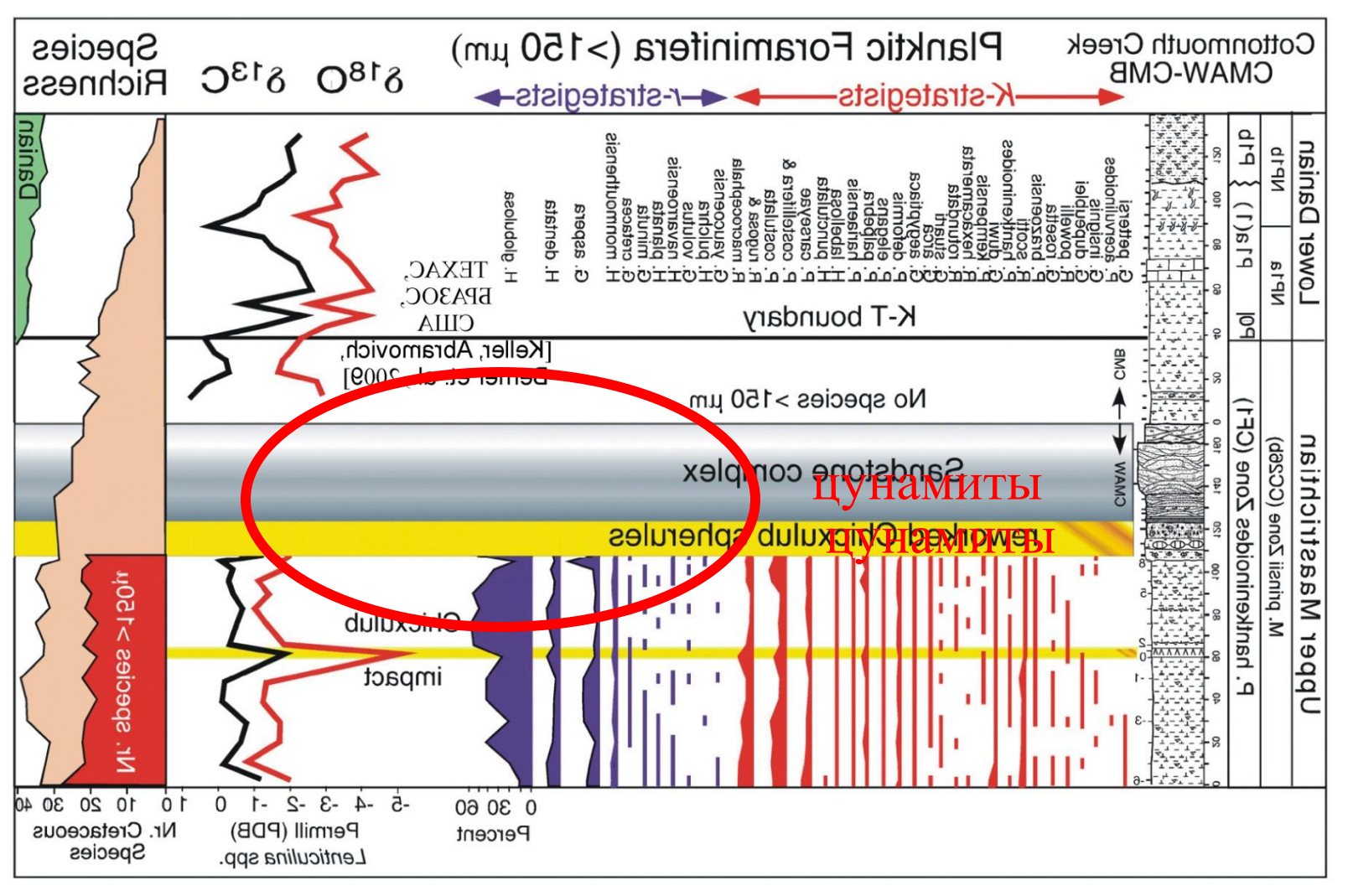


Fig. 9. Stable isotopes and planktic foraminiferal ranges and species abundances of larger species [vi150 µm] in the upper Maastrichtian to Danian in the Cottonmouth Creek (CMAW-CMB) sections. All larger species living in deeper waters disappeared and mark a pseudo mass extinction at the unconformity at the base of the sandstone complex. Their disappearances are due to the shallow inn er neritic depth and probably eutrophic conditions. All of these species are known to survive up to the K

Корреляция циклостратиграфических маркеров (A-D) с биостратигра-фическими, геохимическими в скважине поблизости от кратера Чиксулуб

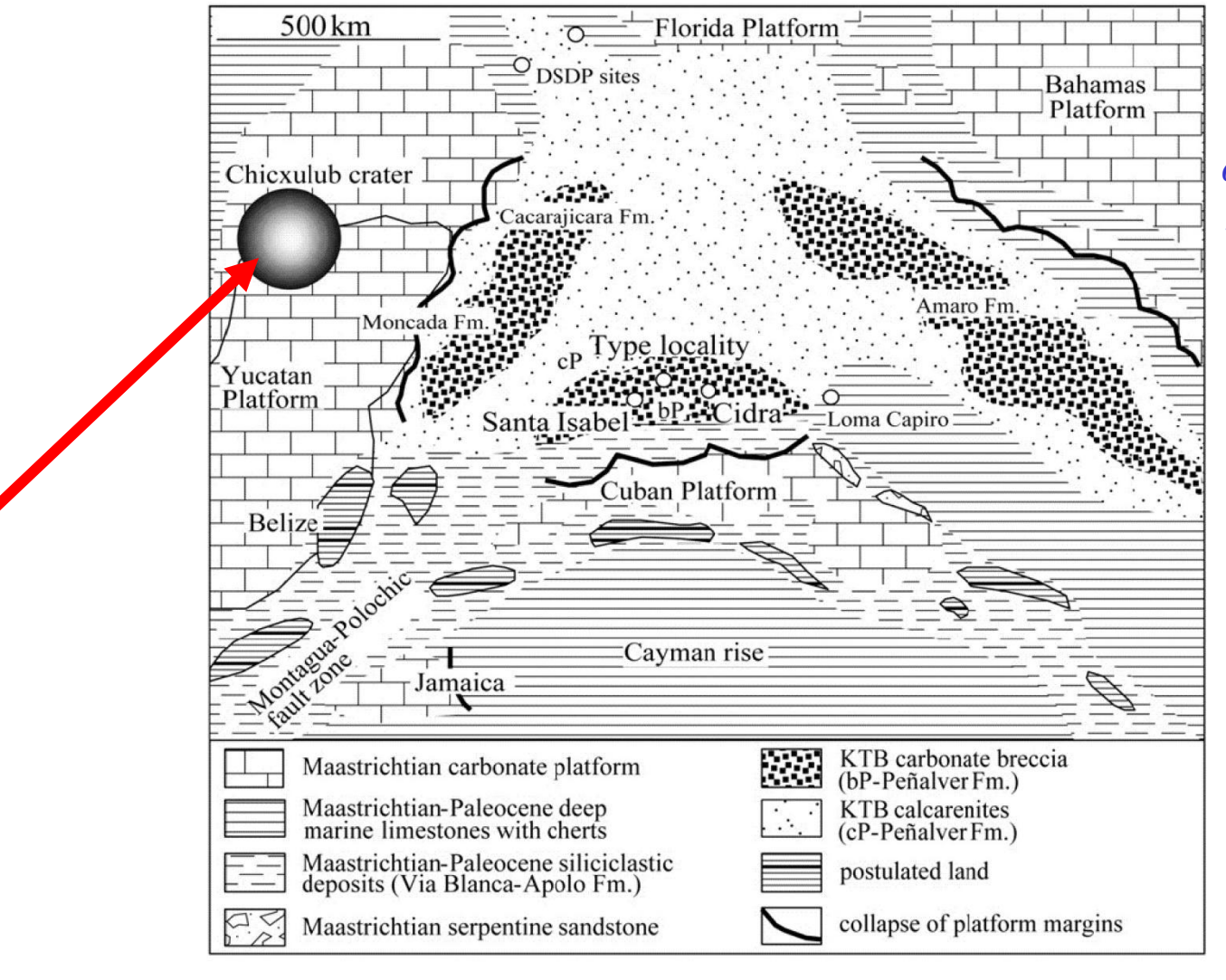
Применение событийно-стратиграфических маркеров: примеры (Stinnesbeck, Keller, de la Cruz et al., 2009)

Stinnesbeck, Keller, de la Cruz. et al., 1997 Гватемала Central Guatemala Cretaceous-tertiary sections FORM. Chilil, Caribe **TECTONOSTRATIGRAPHIC** AGE Actela Chemal Chisec Aserradero Munecas **EVENTS** Mexico **P2** 50 m P1d P₁d Flysch 50 m P1c Formation P1c lower sea-level of asymmetric P1b-c fore deep basin P1b-c P1b-c SEPUR P1b-c Pelagic marls Pla P1a P1a Spherules Limeclast 5 Collision between breccia Chortis and Yucatan blocks. Hiatus faulting and at top compression and bottom Campanian? Platform Stable platform limestones conditions on with rudists Yucatan block 1888 Turbiditic Limestone Marls Shale/Clay limestones shales - siltstones (Flysch)

Удар астероида помимо цунами вызвал разрушение, эрозию, коллизию и компрессию блоков карбонатной платформы Юкатан

> «немая» брекчия цунамиты

К. Goto et al. / Cretaceous Research 29 (2008)e236 119 Применение событийно-стратиграфических маркеров: примеры (Goto et al., 2008)



Удар астероида помимо цунами вызвал разрушение, эрозию, коллизию и компрессию блоков карбонатной платформы Юкатан

Fig. 1. Palaeogeotectonic setting of the Perer Formation in northwestern Cuba at the time of the K/T boundary impact (modibed and al., 2003)

Применение событийно-стратиграфических маркеров: примеры: (Keller et al., 2009)

Горизонты со сферулами на разных стратиграфических уровнях!

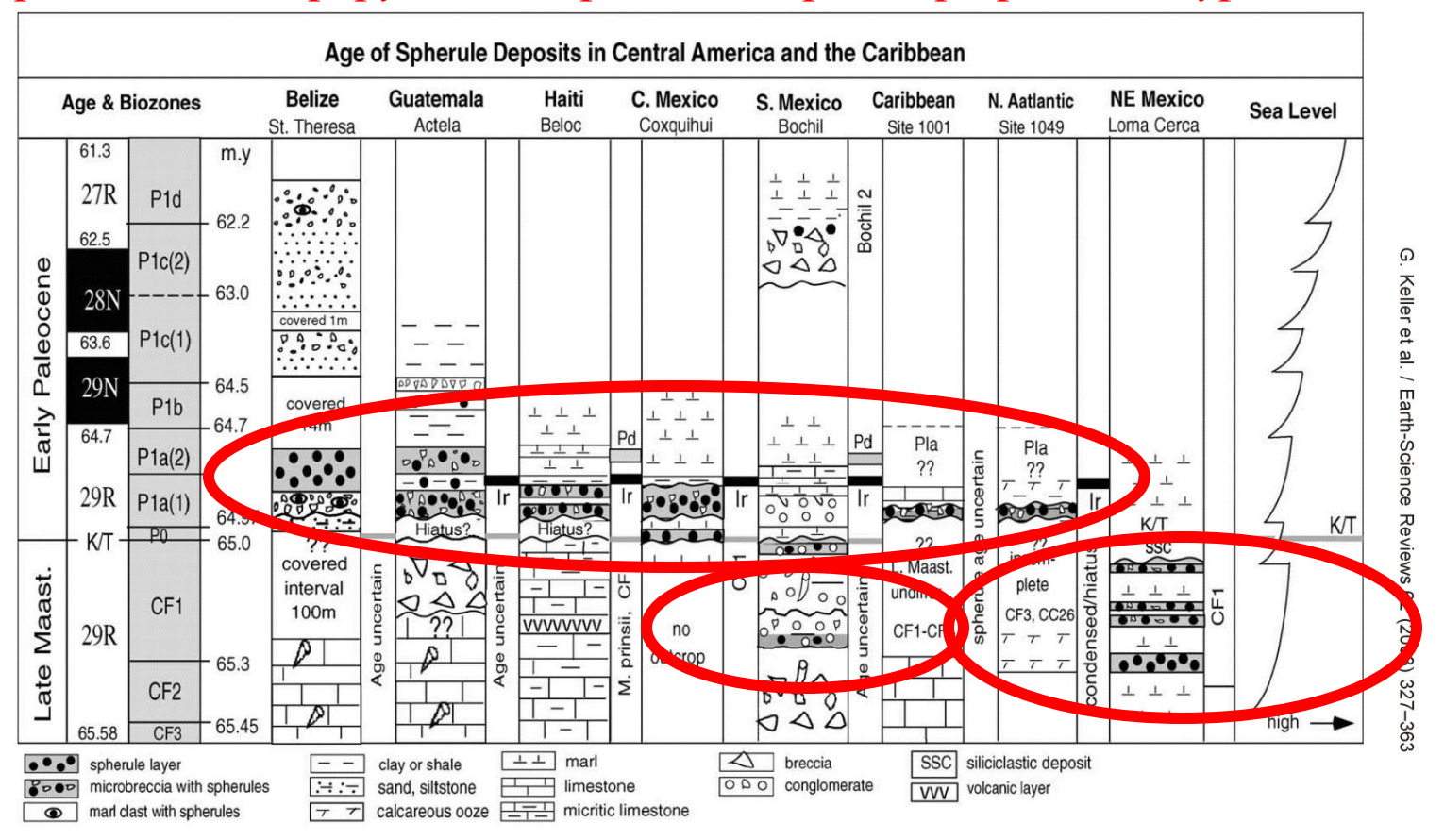


Fig. 19. Stratigraphic summary of altered impact glass spherule deposits and Ir anomalies in Central America, Gulf of Mexico and Caribbeam spherule deposits are known from precisely the K/T boundary. In all sections, the spherules are either in Early Danian sediments and likely reworked, or stratigitainhtbellyate Maastrichtian (NE Mexico) where the oldest spherule layer predates the K/T boundary by 270-300 ky. Widespread erosion across the K/T transition is generally attended ductuations. Note that the Ir anomaly in the Early Danian subzone Pla(I) is tentatively identified as an impact event.

Удар астероида и последующее цунами вызвали эрозию и транспорт значительной части осадков карбонатной платформы Юкатан

частичный

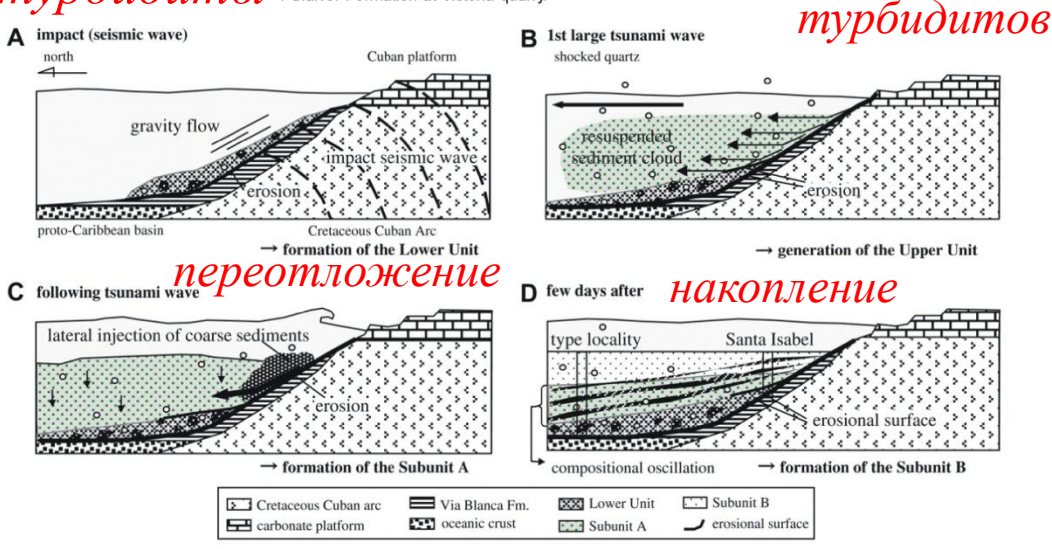
Применение событийно-стратиграфических маркеров: примеры (Goto et al., 2009)

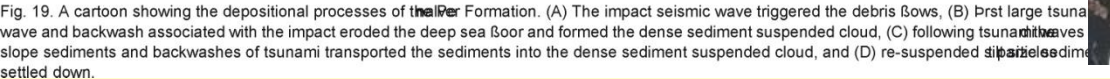
K. Goto et al. / Cretaceous Research 29 (2008)e22876

Результат цунами:



myp6udumbl Fig. 6. A large intraclast observed in the basal part of the Lower Unit of impatcopm Penalver Formation at Victoria quarry.





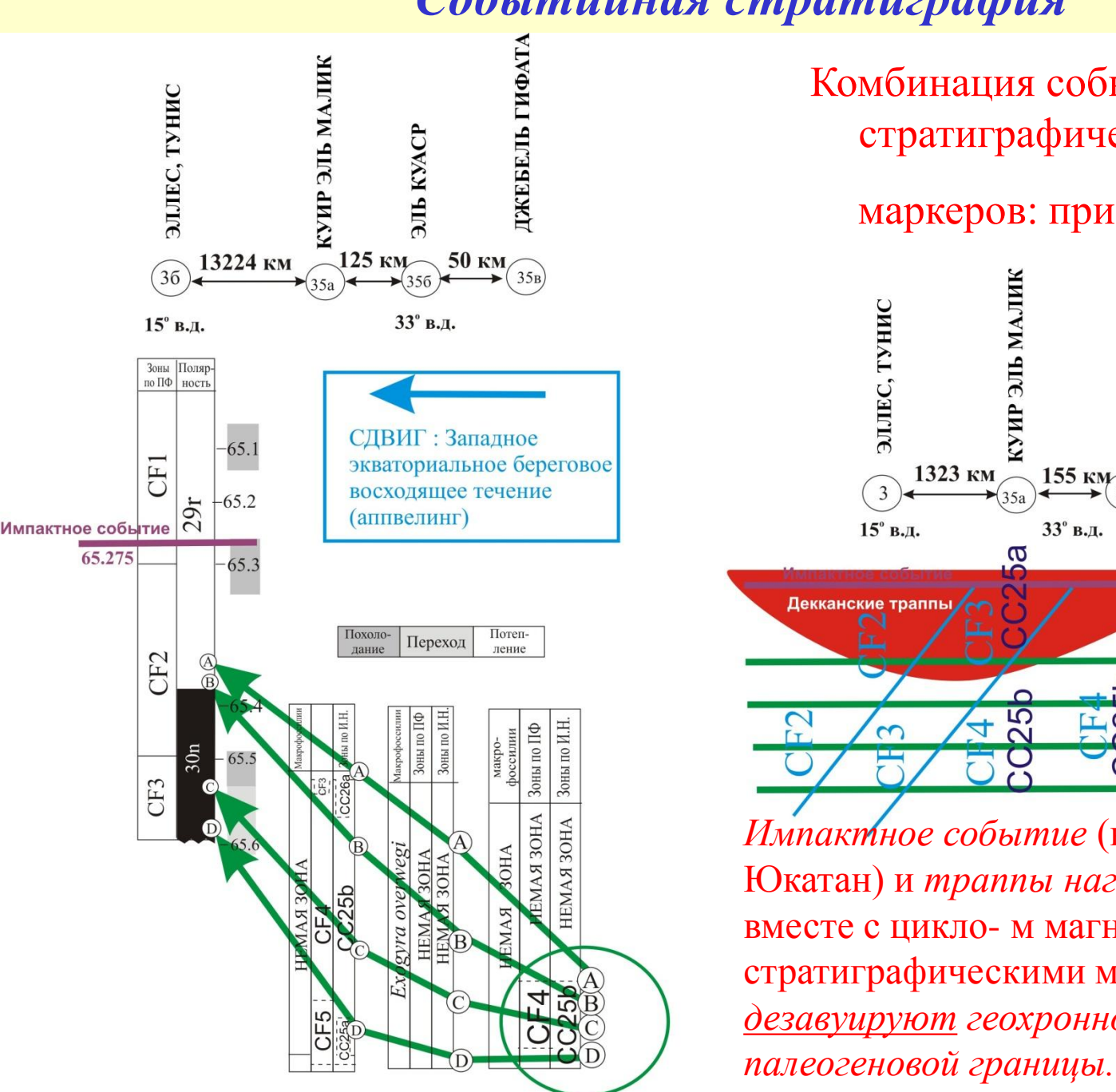


Удар астероида и последующее цунами вызвали эрозию и транспорт значительной части осадков карбонатной платформы Юкатан

Событийная стратиграфия Сильнейшее 9-ти бальное землетрясение 26.12.2004 рядом с островом Суматра и Яванским желобом Привело к образованию волны цунами высотой 10 м и скоростью 800 км/ч, гибели 105.162 и пропажи без вести 127.774 чел (данные Associated Press на 31.01.2005). Цунами Чиксулуб было во много раз сильнее!

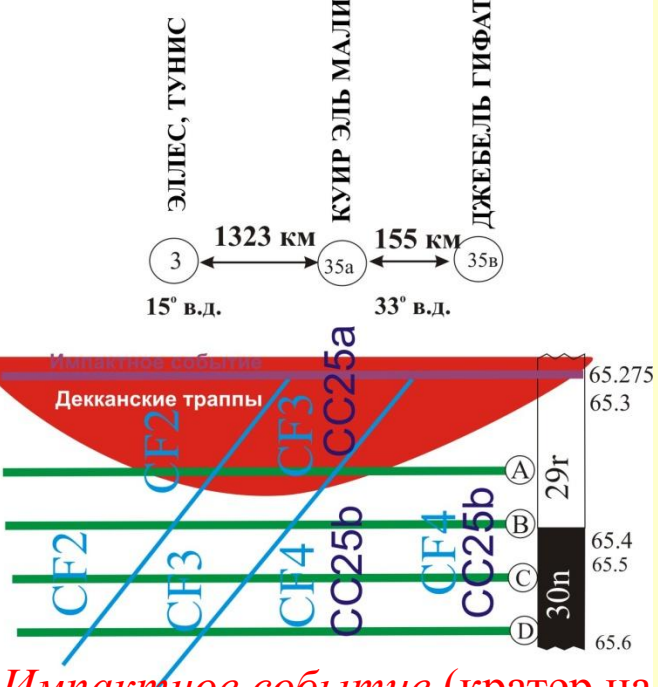
Последний из серии снимков, сделанный за несколько секунд до смерти туриста на азиатском курорте

Событийная стратиграфия Шевронные дюны, или цунамиты - отложения цунами. Аналогичные породы встречены по периферии Мексиканского залива – места падения метеорита в конце мелового периода. Image © 2005 DigitalGlobe



Комбинация событийностратиграфических

маркеров: примеры



Импактное событие (кратер на п-ове Юкатан) и траппы нагорья Деккан (Индия) вместе с цикло- м магнитостратиграфическими маркерами дезавуируют геохронность биозон у мел-

Комбинация событийно-стратиграфических маркеров: примеры (Keller et al., 2009)

